



Fot. 1.- Panorámica de los relieves del estratovolcán de Famara, en el lomo de los Linderos, al oeste de Mala, donde se aprecian los tres tramos del edificio formado por apilamientos de coladas basálticas subhorizontales; inferior (I), medio (M) y superior (S).

Autor: J.L. Barrera

Edad: Mioceno-Plioceno



Fot. 10.- Potente colada basáltica "intracanyon" en el barranco del Palomo apoyada sobre las coladas miocenas (M), junto a la presa de Mala.

Autor: R. Balcells

Edad: Pleistoceno-Mioceno



Fot. 11.- Coladas basálticas "pahoehoe" procedentes del volcán La Atalaya de Haría, entre las que se observa un depósito piroclástico oxidado.  
Autor: R. Balcells

Edad: Pleistoceno



Fot. 12.- Valle de Temisa-Tabayesco excavado en los apilamientos miocenos del estratovolcán de Famara, donde se observan sus laderas completamente cubiertas por depósitos de vertiente.

Autor: R. Balcells

Edad: Plio-cuaternario

• PASA A LA HOJA DE 500 (1080 III) POR ESTAR FUERA DE PLANO.



Fot. 13.- Desembocadura del valle de Temisa-Tabayesco con sus laderas, cubiertas por depósitos detriticos y de alteración.

Autor: R. Balcells

Edad: Plio-cuaternario



Fot. 14.- Depósitos piroclásticos y arenosos muy alterados, con fenómenos de acarcamiento, adosados a los relieves miocenos de la ladera sur del Valle Temisa-Tabayesco.

Autor: J.L. Barrera

Edad: Cuaternario

Author: R. Balcells

Blad: Pleistocene

Phot. 15.- Depósitos conglomeráticos aterrazados, en la desembocadura del Valle de Temisa-





Fot. 16.- Depósitos de arenas eólicas encalichadas, sobre los conglomerados (C) de la fotografía anterior.

Autor: R. Balcells

Edad: Pleistoceno



Fot. 17.- Potentes depósitos de arenas eólicas organógenas, que están siendo objeto de explotación industrial, en una cantera situada al este del Mala.  
Autor: R. Balcells

Edad: Pleistoceno superior



Fot. 18.- Nódulos ferromagnesianos originados sobre depósitos piroclásticos alterados en la zona de El Agujero, al oeste de Arrieta.

Autor: R. Balcells

Edad: Pleistoceno superior



Fot. 19.- Panorámica del área de Haría y Máguez donde se observan los relieves miocenos y pliocenos del estratovolcán de Famara. Sobre ellos los volcanes cuaternarios de La Atalaya de Haría (A), Los Helechos (H) y La Corona (C), con un extenso campo de piroclastos. Hacia la costa se extiende el enorme malpaís de los volcanes de la alineación Los Helechos-La Corona.  
Autor: R. Balcells

Edad: Cuaternario

• PASA A LA HOJA DE 500 (1080 III) POR ESTAR FUERA DE PLANO.



Fot. 2.- Apilamiento de coladas del estratovolcán de Famara, en el barranco de Teneguime, apreciándose los tres tramos del edificio.

Autor: R. Balcells

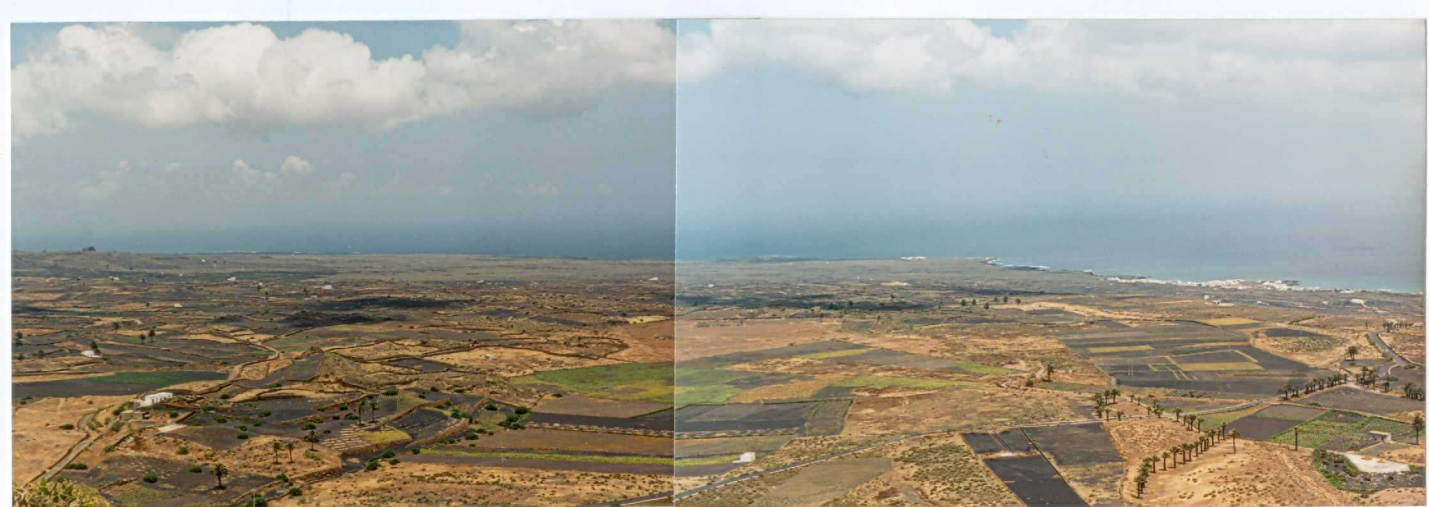
Edad: Mioceno-Plioceno

•PASA A LA HOJA DE GUATIZA (1082 II) POR ESTAR FUERA DE PLANO.



Fot. 20.- Panorámica de Máguez, donde se observan los recubrimientos de lapilli sobre relieves del estratovolcán de Famara (Montaña Los Llanos, LL), procedentes de los volcanes de la alineación Los Helechos (H)- La Corona (C).  
Autor: R. Balcells

Edad: Cuaternario



Fot. 21.- Panorámica del malpaís de lavas de la alineación Los Helechos-La Corona. En primer término, la superficie ya antropizada de las emisiones de Los Helechos.

Autor: R. Balcells

Edad: Cuaternario



Fot. 22.- Tubo volcánico de la Cueva de Los Verdes, originado bajo las coladas del malpaís del volcán La Corona.

Autor: R. Balcells

Edad: Cuaternario



Fot. 23.- Otra vista del jameo que da acceso al tubo volcánico de la Cueva de Los Verdes.  
Autor: R. Balcells

Edad: Cuaternario



Fot. 24.- Depósitos de areniscas marinas fosilíferas sobre las coladas del malpaís de La Coronada, en Punta Mujeres.

Autor: R. Balcells

Edad: Cuaternario



Fot. 25.- Depósitos de areniscas marinas con abundante fauna, sobre las coladas del mal-  
país de La Corona, en Punta Mujeres.

Autor: R. Balcells

Edad: Cuaternario



Fot. 26.- Conglomerados y areniscas fosilíferas de los depósitos de la fotografía anterior.  
Autor: R. Balcells  
Edad: Cuaternario



Fot. 27.- Arenas de playa sobre coladas del malpaís de La Corona, en Punta Escamas.  
Autor: R. Balcells

Edad: Cuaternario



Fot. 3.- Dique basáltico atravesando la brecha del tramo inferior del estratovolcán de Famara, en el barranco de Teneguime.

Autor: J. L. Barrera

Edad: Mioceno



Fot. 4.- Brecha basáltica del techo del tramo inferior del estratovolcán de Famara debajo de coladas del tramo medio, en el Lomo del Palomo, al SO. de Arrieta.  
Autor: J.L. Barrera

Edad: Mioceno



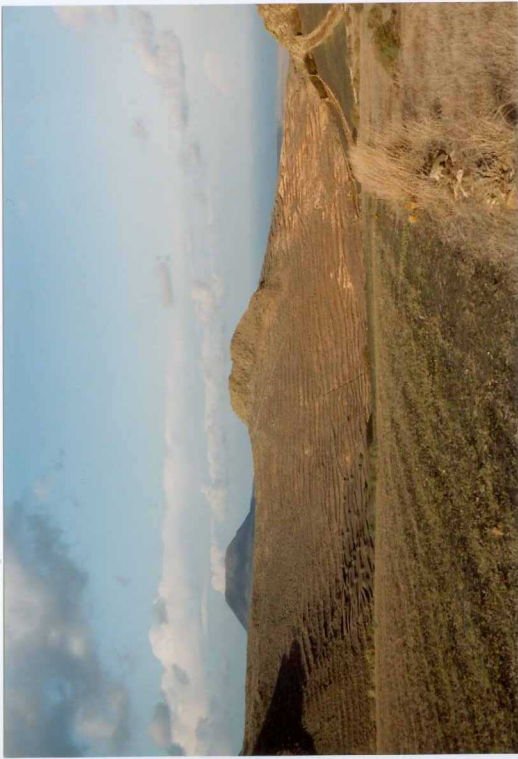
Fot. 5.- Detalle de la brecha de la fotografía anterior.  
Autor: J.L. Barrera

Edad: Mioceno



Fot. 6.- Coladas basálticas de tipo "pahoehoe" del tramo medio del estratovolcán de Famara, entre el km 3 y 4 de la carretera Tabayesco a Haría.  
Autor: R. Balcells

Edad: Mioceno-Plioceno



Fot. 7.- Intrusivo basáltico de Peña Pequeña atravesando coladas del estratovolcán de Pamara, en la zona de El Agujero.

Autor: R. Balcells

Edad: Mioceno

•PASA A LA HOJA DE 500 (1080 III) POR ESTAR FUERA DE PLANO.



Fot. 8.- Panorámica de la zona de Arrieta, donde se observan los relieves del estratovolcán de Famara (F) y cayendo por ellos, las coladas cuaternarias de los volcanes de la alineación Los Helechos-La Corona.  
Autor: R. Balcells

Edad: Mioceno-Cuaternario



Fot. 9.- Potente colada basáltica "intracanyon" del edificio Teneguime, con disyunción columnar, sobre coladas basálticas miocenas, en la ladera SO. del barranco de Teneguime.

Autor: J.L. Barrera

Edad: Pleistoceno-Mioceno